

## ANTECEDENTES

La enfermedad inflamatoria intestinal (EII), incluyendo la colitis ulcerosa (CU) y la enfermedad de Crohn (EC), afecta entre el 5-10% de los pacientes con espondiloartritis axial (EspAax). Datos anteriores sugieren que los pacientes con EspAax con EII pueden tener una enfermedad más grave y una menor prevalencia de HLA-B27. Sin embargo, se sabe poco sobre las posibles diferencias en la EspAax con EII en comparación con aquellos sin EII.

## OBJETIVOS

Investigar las características clínicas y las diferencias radiográficas entre pacientes con EspAax con y sin EII concurrente.

## MÉTODOS

Este estudio multicéntrico, observacional y transversal incluyó pacientes que cumplen los criterios del Grupo Europeo de Estudio de Espondiloartropatías, a partir del Registro Nacional de Espondiloartritis (REGISPONSER) y del Registro Iberoamericano de Espondiloartropatías (RESPONDIA). Se compararon las características y la carga de enfermedad entre pacientes con y sin EII. La regresión logística multivariante identificó factores asociados de forma independiente con la presencia de EII en pacientes con EspAax radiográfica (EspAax-r).

## RESULTADOS

Se incluyeron un total de 2.766 pacientes con EspAax-r (1254 de REGISPONSER y 1512 de RESPONDIA), de los cuales 142 pacientes (5,13%) presentaban EII concomitante. Los pacientes con EspAax y EII concurrente fueron con menor frecuencia hombres, tuvieron una menor prevalencia de positividad para HLA-B27, experimentaron un menor retraso diagnóstico, tuvieron una menor frecuencia de entesitis y recibieron con mayor frecuencia un tratamiento intensificado en comparación con aquellos sin EII (Tabla 1). En términos de daño estructural, el índice BASRI para las articulaciones sacroilíacas, la columna cervical y la columna lumbar, fue menor en

pacientes con EspAax y EII concurrente que en aquellos sin EII (Tabla 1). Por el contrario, no se observaron diferencias estadísticamente significativas entre los grupos en la actividad de la enfermedad evaluada por BASDAI y ASDAS. En el análisis multivariante, la presencia de EII se asoció significativamente con menor prevalencia de HLA-B27 y entesitis, con odds ratios de 0,32 (IC95% 0,20 - 0,52) y 0,58 (IC95% 0,33 - 0,97), respectivamente. Además, el daño estructural en las articulaciones sacroilíacas (BASRI) fue significativamente menor en pacientes con EII, con un odds ratio de 0,79 (IC95%: 0,64 - 0,99).

## CONCLUSIONES

La presencia de EII en EspAax-r se asocia con menor positividad de HLA-B27, menor entesitis y menor daño radiográfico en este amplio estudio poblacional.

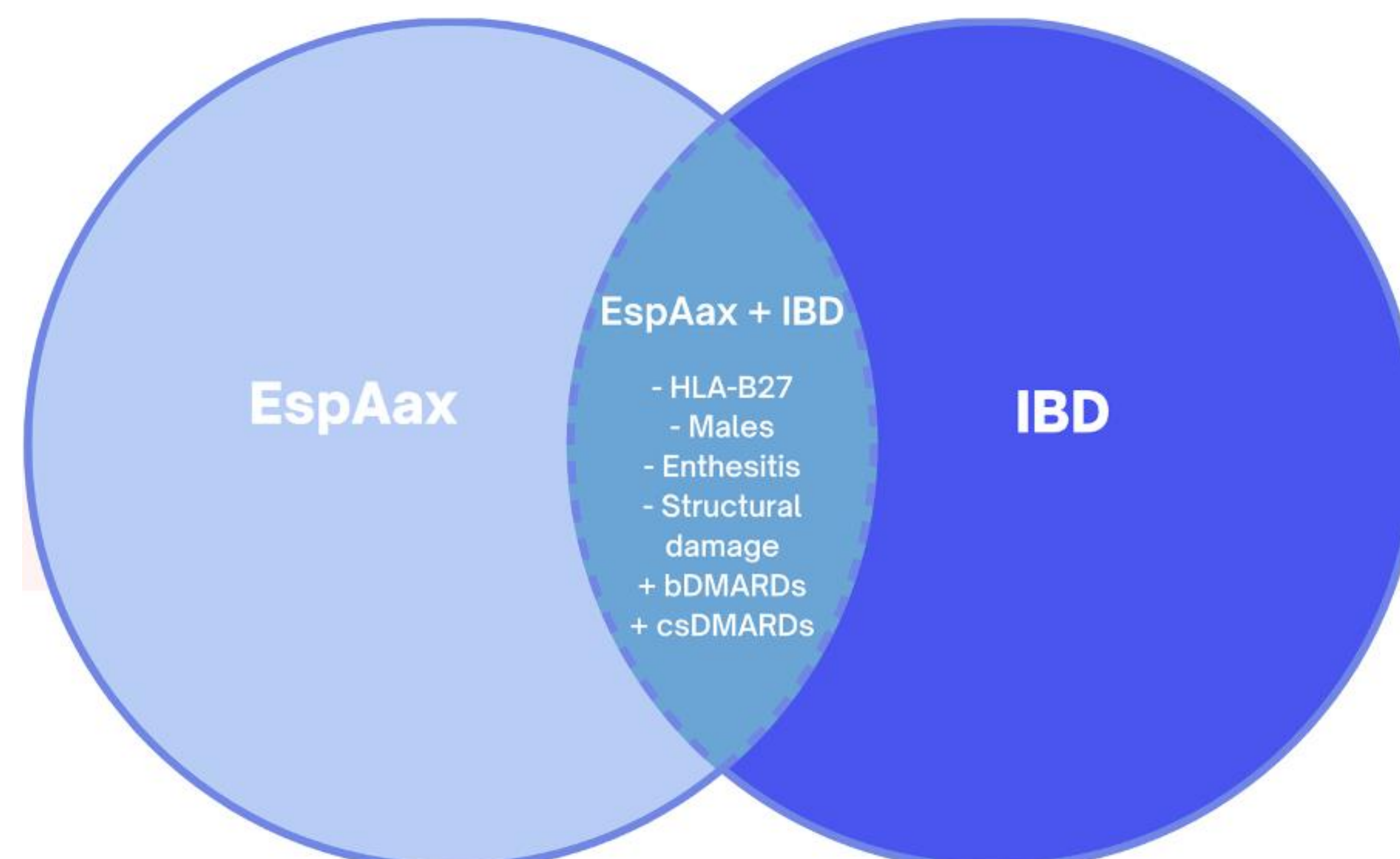


Imagen 1. Hallazgos en el perfil clínico de EspAax concurrente con EII

Tabla 1. EII positivo vs EII negativo: características clínicas y carga de enfermedad

	Total N = 2766	EII N = 142	No EII N = 2624	p-valor
Sexo (hombre)	2046 (74.0%)	88 (62.0%)	1958 (74.6%)	<0.001
Edad (años)	47.2 (13.9)	45.2 (16.0)	47.3 (13.7)	0.127
Tiempo des del inicio de los síntomas	19.5 (13.0)	14.5 (11.2)	19.8 (13.1)	<0.001
Retraso diagnóstico	7.4 (9.2)	5.3 (8.0)	7.5 (9.2)	0.007
IMC	26.4 (4.5)	26.0 (4.2)	26.4 (4.5)	0.278
HLA-B27 positivo	1573/1999 (78.7%)	58/103 (56.3%)	1515/1896 (79.9%)	<0.001
Dolor lumbar inflamatorio	2670/2763 (96.6%)	134 (93.4%)	2536/2621 (96.8%)	0.144
Dolor glúteo alternante	1658/2744 (60.4%)	90/141 (63.8%)	1568/2603 (60.2%)	0.396
Algún episodio de artritis	1207/2760 (43.7%)	61 (43.0%)	1146/2618 (43.8%)	0.849
Algún episodio de entesitis	1125/2745 (41.0%)	43/137 (31.4%)	1082/2608 (41.5%)	0.019
Algún episodio de dactilitis	238/2754 (8.6%)	13/141 (9.2%)	225/2613 (8.6%)	0.802
Psoriasis	278/2757 (10.1%)	12/140 (8.6%)	266/2617 (10.2%)	0.542
Afectación ungueal	128/2699 (4.7%)	5/136 (3.7%)	123/2563 (4.8%)	0.549
Uveítis	595/2746 (21.7%)	32 (22.5%)	563/2604 (21.6%)	0.797
FAMEb en algún momento	417 (15.1%)	30 (21.1%)	387 (14.7%)	0.039
FAMEc en algún momento	1062 (38.4%)	68 (47.9%)	994 (37.9%)	0.017
PCR	9.3 (16.8)	8.5 (11.5)	9.3 (17.0)	0.583
VSG	21.0 (18.3)	23.0 (20.4)	20.8 (18.2)	0.190
BASRI articulación sacroilíaca	3.0 (1.0)	2.6 (1.2)	3.1 (1.0)	<0.001
BASRI lumbar	1.8 (1.4)	1.2 (1.4)	1.8 (1.4)	<0.001
BASRI cervical	1.5 (1.5)	1.1 (1.4)	1.5 (1.5)	<0.001
BASRI columna	6.4 (3.4)	5.0 (3.6)	6.4 (3.4)	<0.001
VAS global	4.7 (2.7)	4.5 (2.9)	4.7 (2.8)	0.380
BASDAI	4.2 (2.4)	4.0 (2.5)	4.2 (2.4)	0.274
ASDAS-PCR	2.6 (1.1)	2.5 (1.1)	2.6 (1.1)	0.267

